

УДК 595.768.23(477)

## МОРФОЛОГИЯ ЛИЧИНКИ СТАРШЕГО ВОЗРАСТА ЖУКА-ДОЛГОНОСИКА *PLINTHUS TISCHERI* (COLEOPTERA, CURCULIONIDAE)

В. Ю. Назаренко

Институт зоологии НАНУ, ул. Б. Хмельницкого, 15, Киев-30, ГСП, 01601 Украина

Получено 1 декабря 2000

**Морфология личинки старшего возраста жука-долгоносика *Plinthus tischeri* (Coleoptera, Curculionidae).** Назаренко В. Ю. — Дано подробное морфологическое переописание с использованием хетотаксии личинки старшего возраста *Plinthus tischeri* Germar, 1824.

Ключевые слова: Coleoptera, Curculionidae, *Plinthus tischeri*, личинка, морфология, хетотаксия.

**The Morphology of Old-Stage Larva of the Weevil *Plinthus tischeri* (Coleoptera, Curculionidae).** Nazarenko V. Yu. — Old stage larva of *Plinthus tischeri* Germar, 1824 is redescribed in details using chaetotaxy.

Key words: Coleoptera, Curculionidae, *Plinthus tischeri*, larva, morphology, chaetotaxy.

### Введение

О морфологии преимагинальных стадий жуков-долгоносиков рода *Plinthus* Germar почти ничего не известно (Scherf, 1964; Kippenberg, 1981; Meregalli, 1985). *Plinthus tischeri* Germar, 1824 является наиболее широко распространенным видом этого рода в Украинских Карпатах и в частности в Карпатском биосферном заповеднике. По наблюдениям автора, в этом районе (1999 г.), кормовым растением имаго и личинок является горный щавель *Rumex alpinus* Linnaeus, что подтверждает литературные данные об этом виде (Smreczynski, 1968). Имеющееся описание личинки этого вида (Frauenfeld, 1854, цит. по Kippenberg, 1981) не позволяет провести сравнительный морфологический анализ, поскольку в нем отсутствует описание ряда таксономически важных особенностей хетотаксии тела.

### Материал и методы

Личинки этого вида были собраны автором в июле 1999 г. в Карпатах на горе Поп-Иван (Мармарошский) в корневищах *R. alpinus*. Далее личинки воспитывались в садках: 6 (в том числе 3 взрослых) были зафиксированы на разных стадиях развития и 4 оставлены для выведения имаго.

Фиксирование и обработка материала проводились по методике, изложенной в предыдущих работах (Назаренко, 1997, 1998). При описании личинок в основном использовались принципы и терминология Б. Мэй (May, 1967, 1971, 1977) и Ф. Эмдена (Emden, 1952).

### Описание личинки

Взрослая личинка белая или желтовато-белая, слабо С-образно изогнута, головная капсула желтовато-коричневая. Длина тела 12–14 мм, ширина — 4–5 мм.

Хетотаксия головной капсулы и ротовых органов. Головная капсула личинки старшего возраста (рис. 1, A) светло-коричневая, с двумя слабовыраженными продольными вдавлениями и 4 светлыми продольными полосами, 2 из которых расположены вдоль вдавлений по бокам теменного шва.

Эпикраниум (рис. 1, A): pes — 5, из них 4 расположены в 1 ряд с des2, des1, 2, 3, 5 длинные, des4 короткая, расположена чуть ближе к des5; сенсилла расположена ближе к des5, les2 длиннее les1, ves очень короткие. Стеммы в виде маленьких темных пятен находятся по одной у вершинных углов фронтального шва.

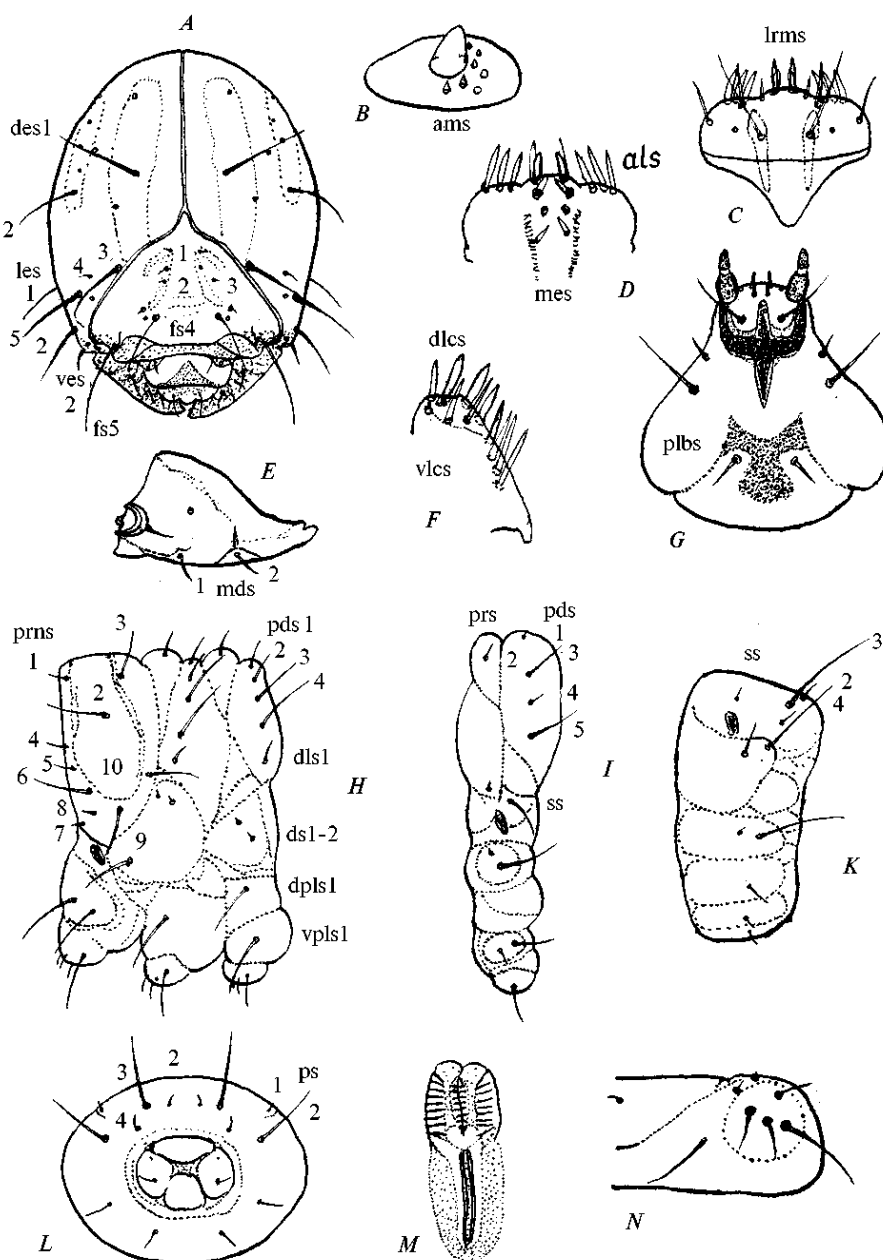


Рис. 1. Детали строения личинки *Plinthus tischeri*: A — головная капсула (эпикраниальные щетинки: des — дорсальные, les — боковые; fs — фронтальные); B — антenna; C — верхняя губа (lrms — верхнегубные щетинки); D — эпифаринкс (mes — серединные щетинки, ams — серединные передние, als — передне-боковые щетинки); E — мандибула (mds — мандибулярные щетинки); F — жевательная лопасть максиллы (dcls — дорсальные, vlcs — вентральные щетинки); G — нижняя губа (plbs — постлабиальные щетинки); H — грудные сегменты; I — второй сегмент брюшка; K — 8-й сегмент брюшка; L — 9-й и 10-й сегменты брюшка; M — дыхальце; N — левая педальная доля (prns — щетинки пронотума, prs — продорсальные, pds — постдорсальные, dls — дорсолатеральные, as — алярные, dpls — дорсолевровальные, vpls — вентролевровые, ps — плевральные; t-z — щетинки педальной доли).

Fig. 1. Structural details of *Plinthus tischeri* larva: A — head capsule (epicranial setae: des — dorsal, les — lateral; fs — frontal); B — antenna; C — labrum (lrms — labral setae); D — epipharynx (mes — median epipharyngeal setae, ams — anteromedian setae, als — anterolateral setae); E — mandibula (mds — mandibular setae); F — lacinia (dcls — dorsal, vlcs — ventral lacinial setae); G — labium (plbs — postlabial setae); H — thoracic segments; I — second abdominal segment; K — eighth abdominal segment; L — 9<sup>th</sup> and 10<sup>th</sup> abdominal segments; M — spiracle; N — left pedal lobe (prns — pronotal, prs — prodorsal, pds — postdorsal, dls — dorsolateral, as — alar, dpls — dorsopleural, vpls — ventropleural, ps — pleural; t-z — setae of pedal lobe).

Антенна (рис. 1, *B*) с широкой базальной мембраной и короткоконическим сенсорным придатком. Базальная мембра на несет группу из 6 зубцевидных и 1 плоской сенсилл.

Лобных щетинок 5, из них  $fs_4-5$  длинные,  $fs_1-3$  очень короткие. Сенсиллы расположены между  $fs_1-2$  почти на равном расстоянии от них и между  $fs_3-4$  слегка впереди и снаружи от условной прямой линии, соединяющей их основания.

Наличник округленно-прямоугольный,  $cls_2$  немного короче  $cls_1$ , сенсилла находится слегка впереди и почти посередине между ними.

Верхняя туба (рис. 1, *C, D*) с 2 палочковидными, расширенными впереди тормами, задние концы их немного сближены;  $lrms_1$  самые длинные,  $lrms_2-3$  короче. Щетинок  $als = 3$ ,  $ies$  очень короткие, шипиковидные;  $ams = 2$ , они сближены с передней парой  $mes$ . Всего  $mes = 6$ , кластеры сенсилл расположены между двумя базальными парами  $mes$ .

Мандибулы (рис. 1, *E*) с 2 зубцами,  $mds_1-2$  короткие, расположены в углублениях наружной поверхности, сенсилла вблизи  $mds_1$  возле режущего края.

Максилла обычного строения (рис. 1, *F*),  $dlcs = 7$ ,  $vlcs = 5$ , апикальная  $vlcs$  занимает промежуточное положение между  $dlcs$  и  $vlcs$ , 3 из них длинные, 2 очень короткие, шипиковидные, расположены возле  $dlcs_7$ ; сенсилла возле апикальной вентральной щетинки.

Нижняя туба (рис. 1, *G*): постлабиум с 3 щетинками, из них  $plbs_2$  самая длинная,  $plbs_1$  в 1,5–2,  $plbs_3$  в 2–2,5 раза короче ее. Посередине постлабиума имеется пигментированный 3-лопастный склерит. Прелабиум с 2 щетинками, сенсиллы расположены у основания боковых ветвей и у вершины центрального отростка прелабиального склерита. Лигула с 2 парами шипиковидных сенсилл и 2 сенсорными органами.

Хетотаксия сегментов тела. Пронотум (рис. 1, *H*) с 10 щетинками, из них  $prns_2, 6, 9, 10$  длинные,  $3prns$  умеренно длинная, остальные — короткие или очень короткие, шипиковидные;  $vpls = 2$ ;  $prns_7, 8$  расположены впереди и над переднегрудным дыхальцем. Мезонотум и метанотум с 2 поперечными складками, также с 9 дорсальными щетинками:  $4pds, 1dls, 2as, 1dpls, 1vpls$ ;  $as$  шипиковидные;  $prs, pds_1, 2, dls$  короткие  $pds_3, 4$  длинные.

Педальная область (рис. 1, *N*) с 7 щетинками,  $w, t$  — самые длинные,  $u, w, z$  в 2 раза короче,  $x$  и  $x'$  шипиковидные.

Дыхальца (рис. 1, *M*) овальные, камеры короче или такой же длины, как перитрема, с 8–10 кольцами.

Сегменты брюшка (рис. 1, *I*) 1–7 с 2 складками и 12 дорсальными щетинками:  $1prs, 5pds, 2ss, 2dpls, 2vpls$ ;  $pds_1-2$  очень короткие,  $prs$  и  $pds_4$  короткие,  $pds_3-5$  длинные,  $ss_1$  маленькая, шипиковидная,  $ss_2$  длинная,  $dpls_1$  и  $vpls_1$  короткие,  $dpls_1$  может быть шипиковидной;  $dpls_2$  и  $vpls_2$  длинные.

Восьмой сегмент тела (рис. 1, *K*) на дорсальной поверхности без складок, несет 8 щетинок: очень короткие  $pds_2, 4$ , длинную  $pds_3$ , шипиковидную  $ss_1$ , длинные  $dpls_2$  и  $vpls_2$ , короткую  $dpls_1$  и шипиковидную  $vpls_1$ .

Девятый сегмент (рис. 1, *L*) также не разделен на складки, кольцевидный, на дорсальной поверхности расположены: очень короткие  $pds_2, 4$ ; длинная  $pds_3$ ;  $ps_1$  шипиковидная;  $ps_2$  длинная.

Десятый сегмент (рис. 1, *L*) 4-лопастной, все лопасти крупные, боковые с 2 щетинками, из которых: верхняя — крошечная, шипиковидная, нижняя — примерно равна по длине  $pds_2-4$  9-го сегмента.

*Назаренко В. Ю.* К морфологии личинки старшего возраста жука-долгоносика *Lepyrus capucinus* (Coleoptera, Curculionidae) // Вестн. зоологии. — 1997. — 31, № 3. — С. 67–70.

*Назаренко В. Ю.* Описание личинки старшего возраста жука-долгоносика *Donus nidensis* (Coleoptera, Curculionidae) // Вестн. зоологии. — 1998. — 32, № 5–6. — С. 103–106.

- Emden F., van.* On the taxonomy of Rhynchophora larvae: Adelognatha and Alopinae (Insecta, Coleoptera) // Proc. Zool. Soc. London. — 1952. — 122, N 3. — P. 657–795.
- Kippenberg H.* Die mitteleuropa: ischen Arten der Gattung Plinthus Germ. // Entomol. Blatter. — 1981. — 76, N 2–3. — S. 73–140.
- May B. M.* Immature Stages of Curculionidae 1. Some Genera in the Tribe Araucariini (Cossoninae) // New Zealand J. Sci. — 1967. — 10, N 3. — P. 644–660.
- May B. M.* Entomology of the Aucklands and other Blands south of New Zealand: Immature Stages of Curculionidae // Pacific Insects Monograph. — 1971. — 27. — P. 271–316.
- May B. M.* Immature Stages of Curculionidae: Larvae of the Soil-dwelling Weevils of New Zealand // J. Roy. Soc. New Zealand. — 1977. — 7, N 2. — P. 189–228.
- Meregalli M.* Revisione del genere Plinthus Germar (Coleoptera: Curculionidae) // Mem. Mus. Civico di Storia Natur. Verona (Biologia). — 1985. — N 5. — P. 9–134.
- Scherf H.* Die Entwicklungs-Stadien der mitteleuropaischen Curculioniden (Morphologie, Bionomie, Okologie) // Abhandl. Senckenberg. Naturforsch. Ges. — 1964. — 506. — S. 171–181.
- Smreczynski S.* Podrodzina Szeliniakowate — Hylobiinae // Klucze do oznaczania owadów Polski. — Warszawa, 1968. — Cz. 19, z. 98. — P. 58–96.